



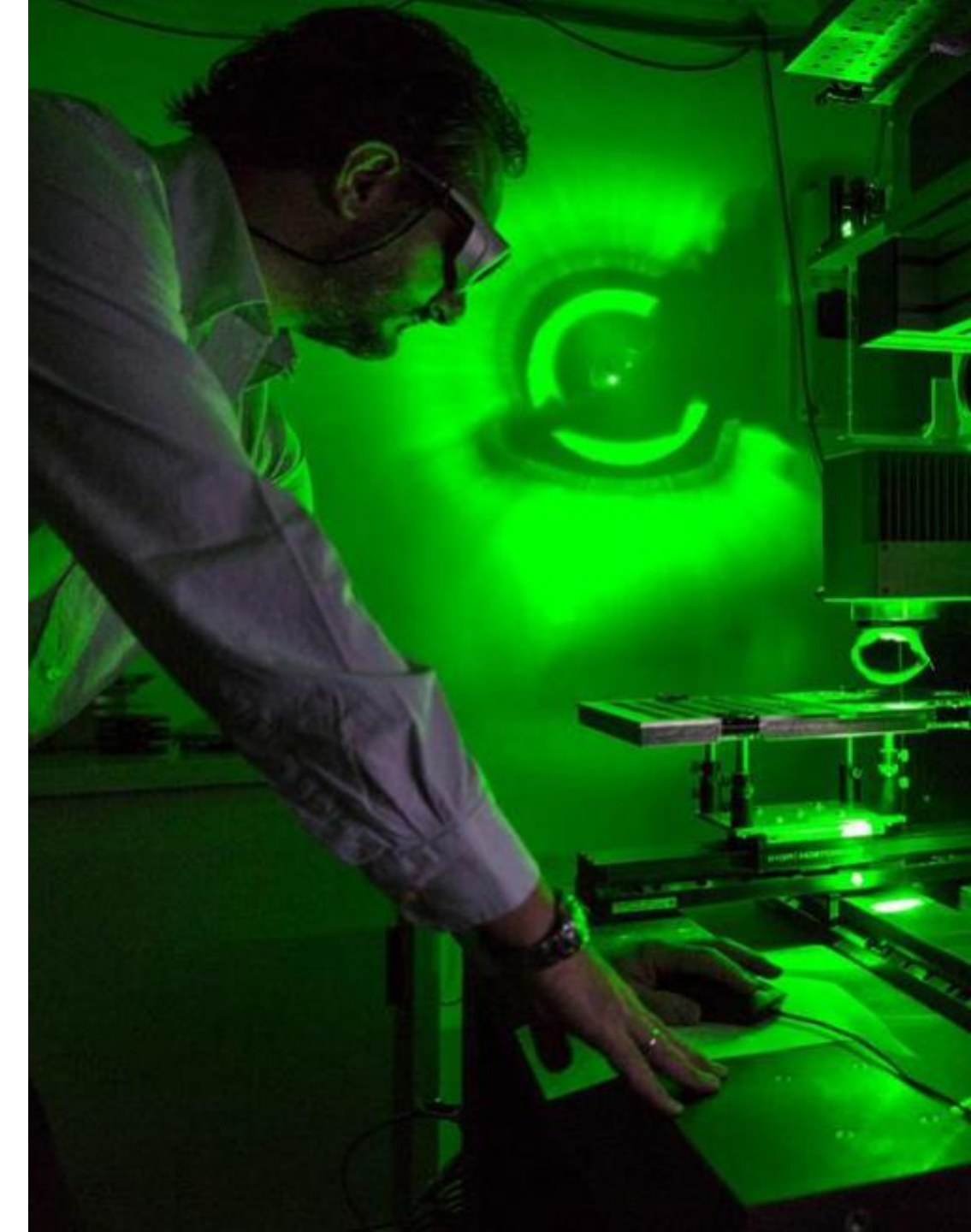
Acquisizione automatica di immagini topografiche SEM per la ricostruzione 3D di microlavorazioni laser

Dr. Matteo Verdi Kirana srl m.verdi@kirana-laser.it



Kirana è un'azienda specializzata nello sviluppo di processi di microlavorazione laser finalizzati ad attività di produzione conto terzi.





Fondata nel **2012**, Kirana è una SME insediata Polo Meccatronica di Rovereto











Kirana s.r.l.



La variegata gamma di sorgenti laser funzionanti presso i laboratori di Kirana permette di scegliere di volta in volta il sistema più appropriato al fine di processare, con specifiche molto spinte, qualsiasi tipo di materiale industriale: metalli, ceramiche, polimeri, dielettrici, semiconduttori e compositi.









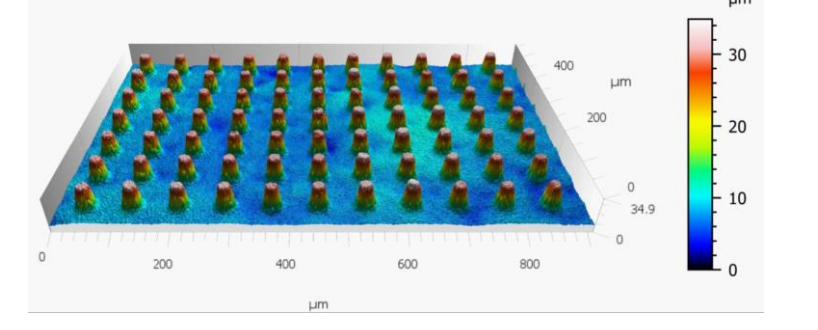


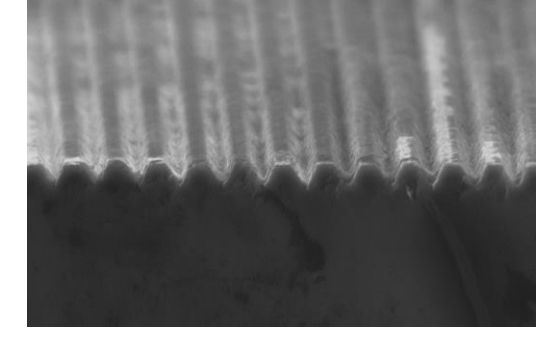


Inoltre, il reparto produttivo ha il supporto di strumenti metrologici avanzati usati per la validazione dei processi e il controllo

qualità.

3D White light interferometer





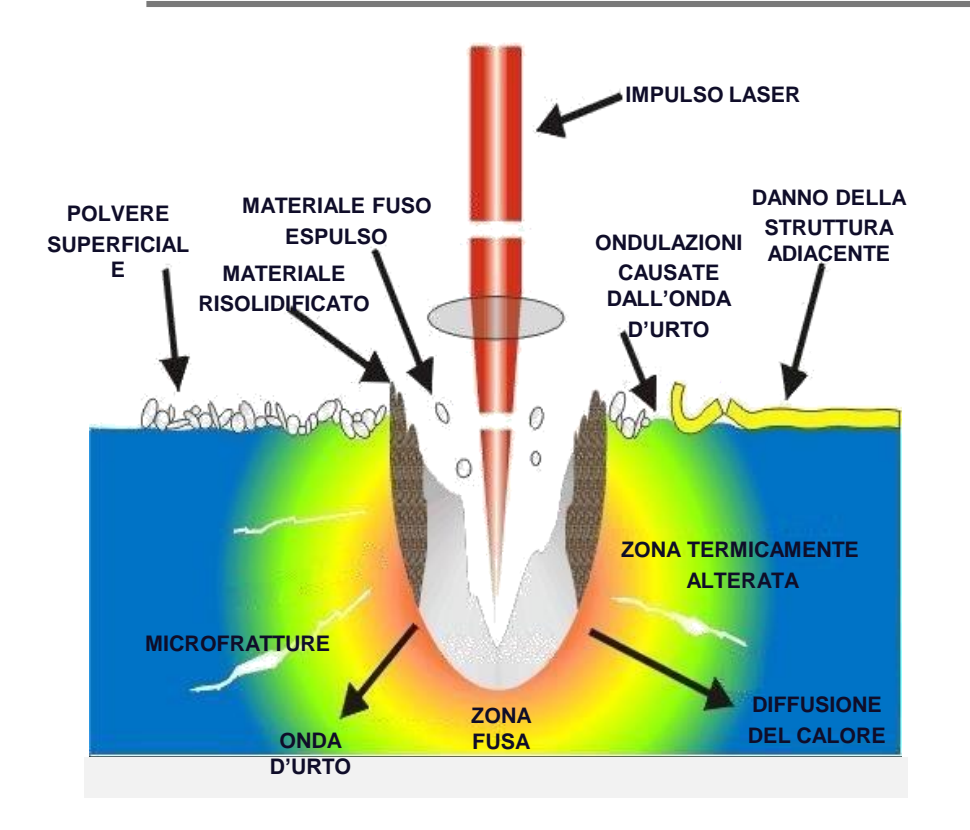
SEM

Kirana svolge, un servizio completo che va dallo studio di fattibilità allo sviluppo di processo, fino alla lavorazione conto terzi su prototipi, pre-serie e lotti in grandi volumi produttivi.

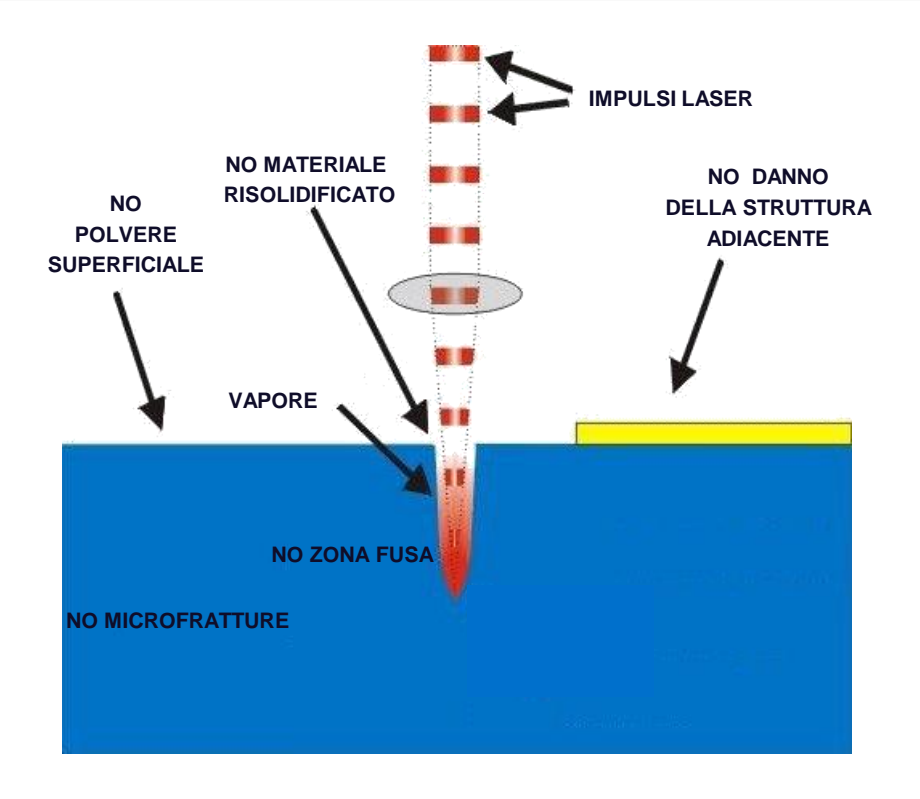


Rimozione del materiale: Termica vs ablazione fredda





- Diffusione del calore
- Presente zona termicamente alterata
- Il materiale viene fuso e rimosso sotto forma di gocce di liquido
- Deposito superficiale: lavorazione non "pulita"
- Elevato spessore di materiale risolidificato sulle pareti
- Micro-cricche sulle pareti
- Scarsa ripetibilità



- La superficie vaporizza "istantaneamente"
- Il materiale viene rimosso sotto forma di vapore
- Lavorazione "pulita"
- No zona termicamente alterata
- No micro-cricche sulle pareti
- Elevata ripetibilità



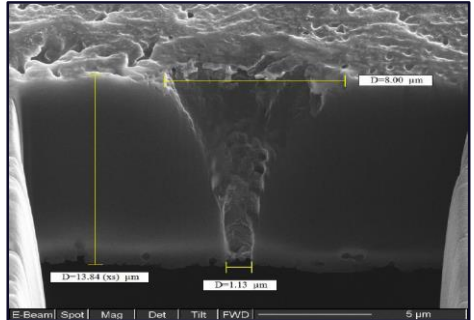
MICROLAVORAZIONI LASER PROPOSTE ad alto valore aggiunto



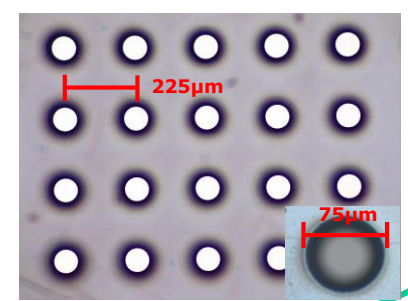
Micro-foratura:

Fori fino ad 1 micron di diametro su materiali metallici e non metallici, tipicamente con spessore fino al millimetro.

• Fori da 1µm per "flow cell" microforate che costituiscono il componente principale del sistema di detection di nanoparticelle.



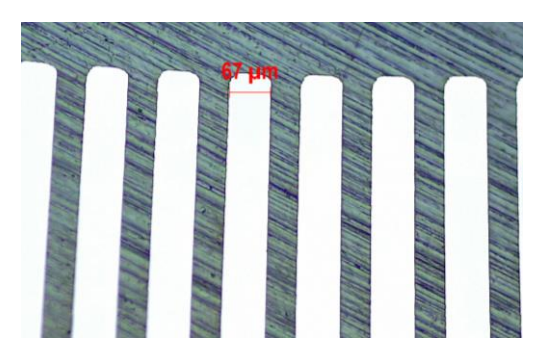
- Microfori calibrati su vetro per leak test per fiale, flaconi, sacche e siringhe.
- Microfori su membrane polimeriche per analisi cellulare.

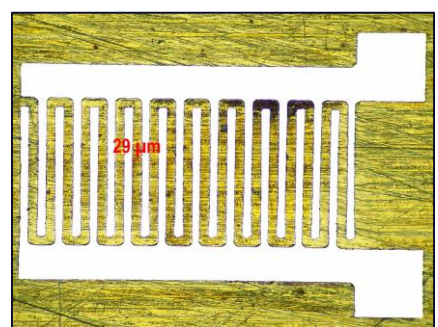


Micro-taglio laser:

La capacità di ottenere kerf inferiori a 10 micron permette di realizzare microstrutture per componenti ad elevata specializzazione.

• Maschere ottiche e per deposizione materiali realizzate su acciaio e ottone.





• Microtaglio di polimeri avanzati: fessura di 35 μm su 100 μm di Kapton.



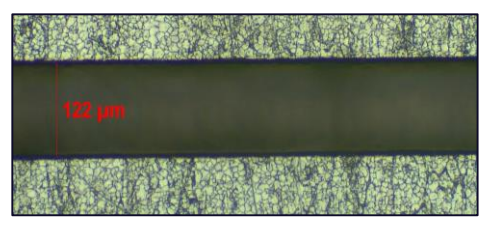


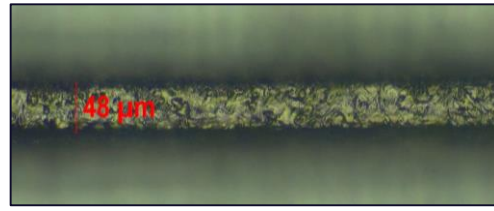
MICROLAVORAZIONI LASER PROPOSTE ad alto valore aggiunto



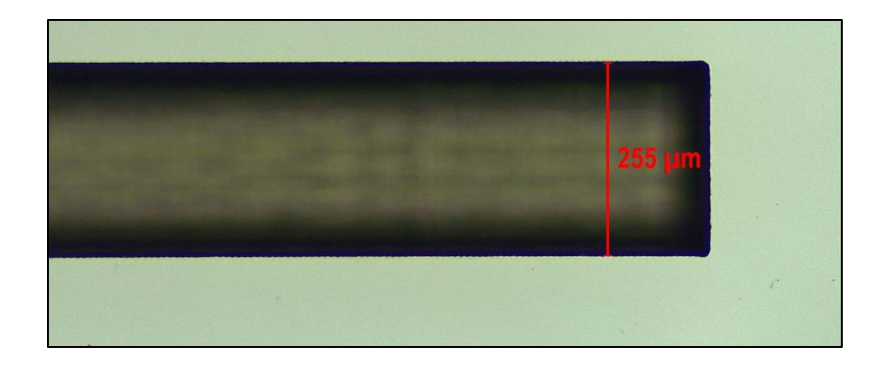
Micro-incisione:

• Microcanali su acciaio, con applicazioni per micro fluidica, componenti per strumenti ottici, microelettronici e micromeccanici.



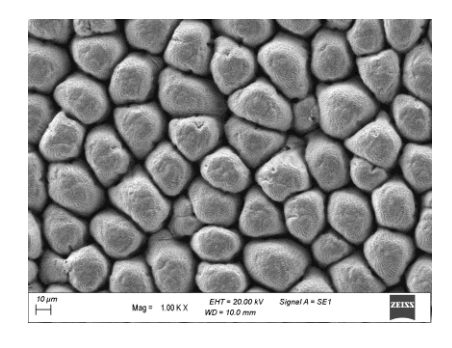


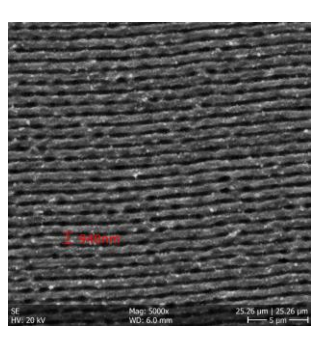
Microcanali su vetro.



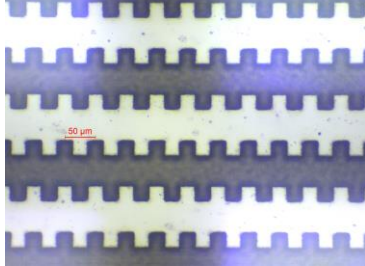
Micro-strutturazione superficiale:

 Laser Induced Periodic Surface Structures (LIPSS) superfici a bagnabilità ed attrito variabile.

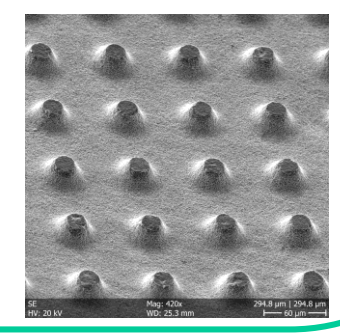




• Superfici tribologiche per controllo attrito realizzate su vetro.



• Strutturazione per SOFC.





Dimensioni a cui opera Kirana



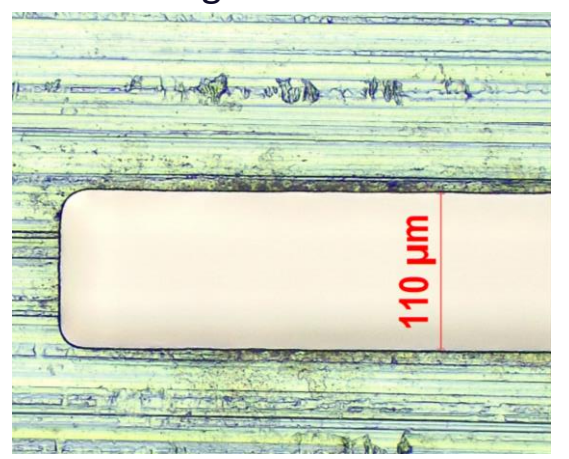
μm

nm

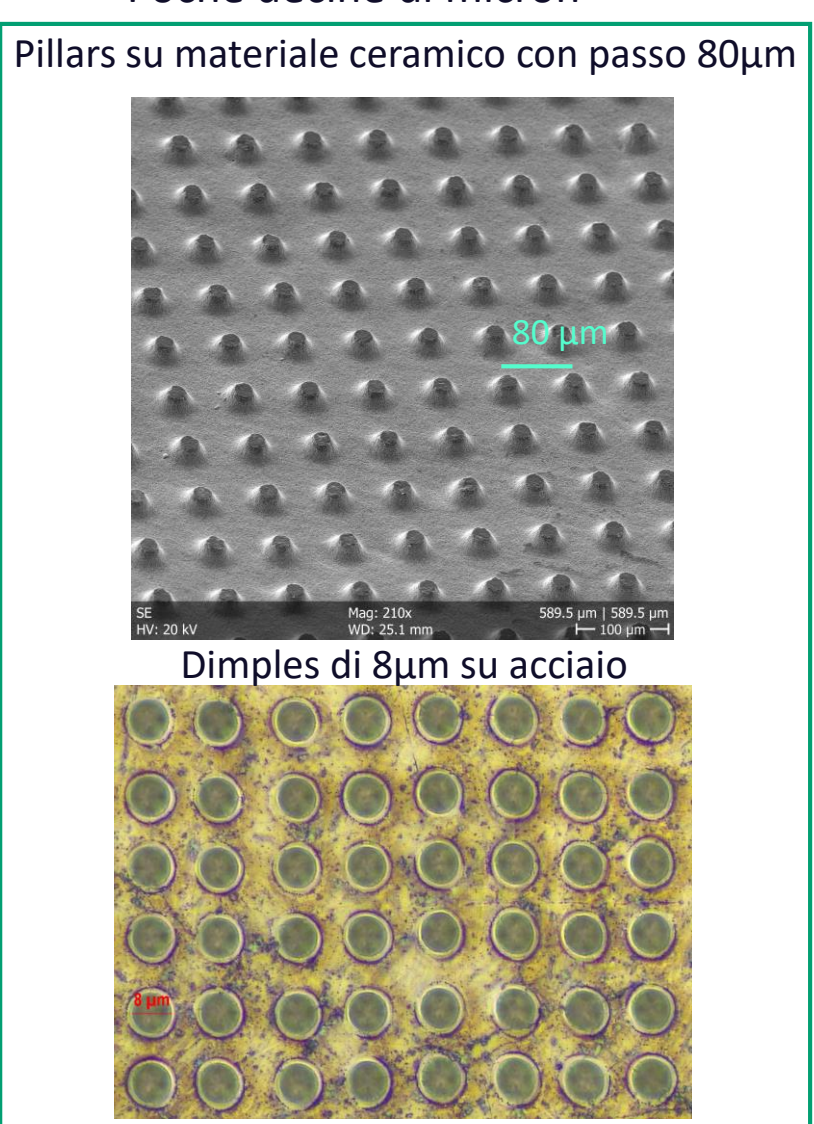
Poche centinaia di micron



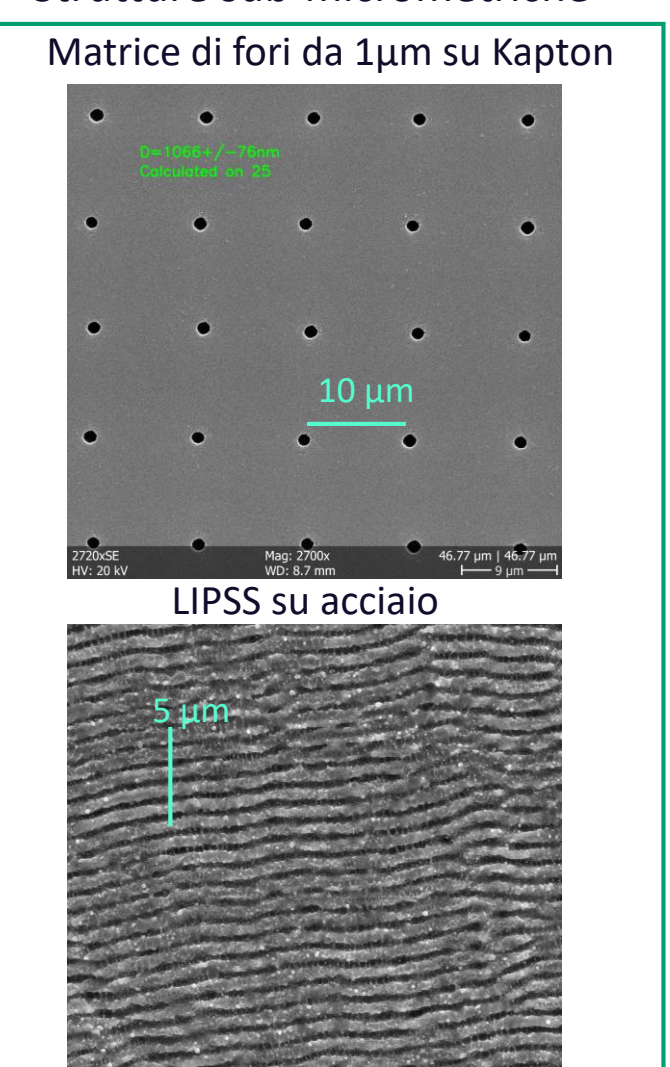
Taglio alluminio



Poche decine di micron



Strutture sub-micrometriche





R&D



Il team di R&D è costantemente impegnato con università e centri di ricerca di eccellenza in progetti di ricerca volti a trovare e sviluppare nuovi processi di microlavorazione laser per nuove applicazioni. Queste collaborazioni garantiscono un continuo aumento del know-how di kirana. Questo si traduce in un servizio all'avanguardia per i clienti.

2016

Surface micro-texturing on quartz and polymers for wettability control (self-cleaning glass).

Partners: UniTn – DICAM Fundings: Fondazione Caritro

2018

Laser surface microtexturing for friction control.

Partners: UniTn – DICAM Fundings: Fondazione Caritro

2023

SMOLLER: Sub-micron holes drilling by flexible burst mode fs laser for nanoparticle analysis.

Partners: Lithium Lasers srl – Elements srl Fundings: UE-PULSATE

2024

MultiBEAM: Multi Beam Enacend lAser Microdrilling.

Fundings: UE-PULSATE

2018

META-F: Novel micromachining and treatment on innovative materials with femtosecond laser.

Partners: UniTn – DICAM and PoliMi Fundings: PAT (art. 5, LP. Nn.6/1999)

2021

MIAMI: Metrology and Artificial Intelligence for the development and quality control of femtosecond laser micromachining.

Partners: FBK – 3DOM

Fundings: PAT (art. 5, LP. Nn.6/1999)

2023

LELO: Laser Epitaxial Lift Off for InGaP solar cells detachment from substrates.

Partners: RSE Fundings: RSE

2024

ALPSS: Advanced Laser texturing Processes for Sustainable Ski bases.

Partners: PoliMi

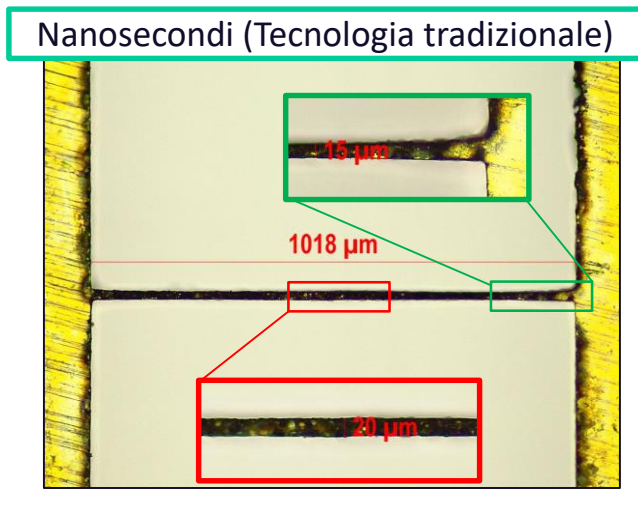
Fundings: PAT (art. 19, LP. Nn.6/2023)



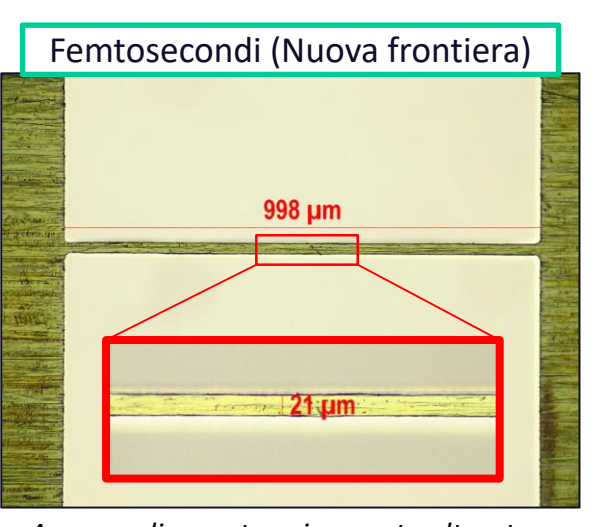
Motivazioni alla base del progetto



• I laser a **femtosecondi** rappresentano l'ultima frontiera tecnologica nel settore delle microlavorazioni sui materiali. Questa tecnologia, caratterizzata dalla generazione di impulsi laser estremamente brevi, permette di asportare materiale senza che il calore influisca sul processo, rendendo quindi possibile la cosiddetta "ablazione fredda" che favorisce l'estrema precisione e qualità delle microlavorazioni.



Presenza di zona termicamente alterata



Assenza di zona termicamente alterata

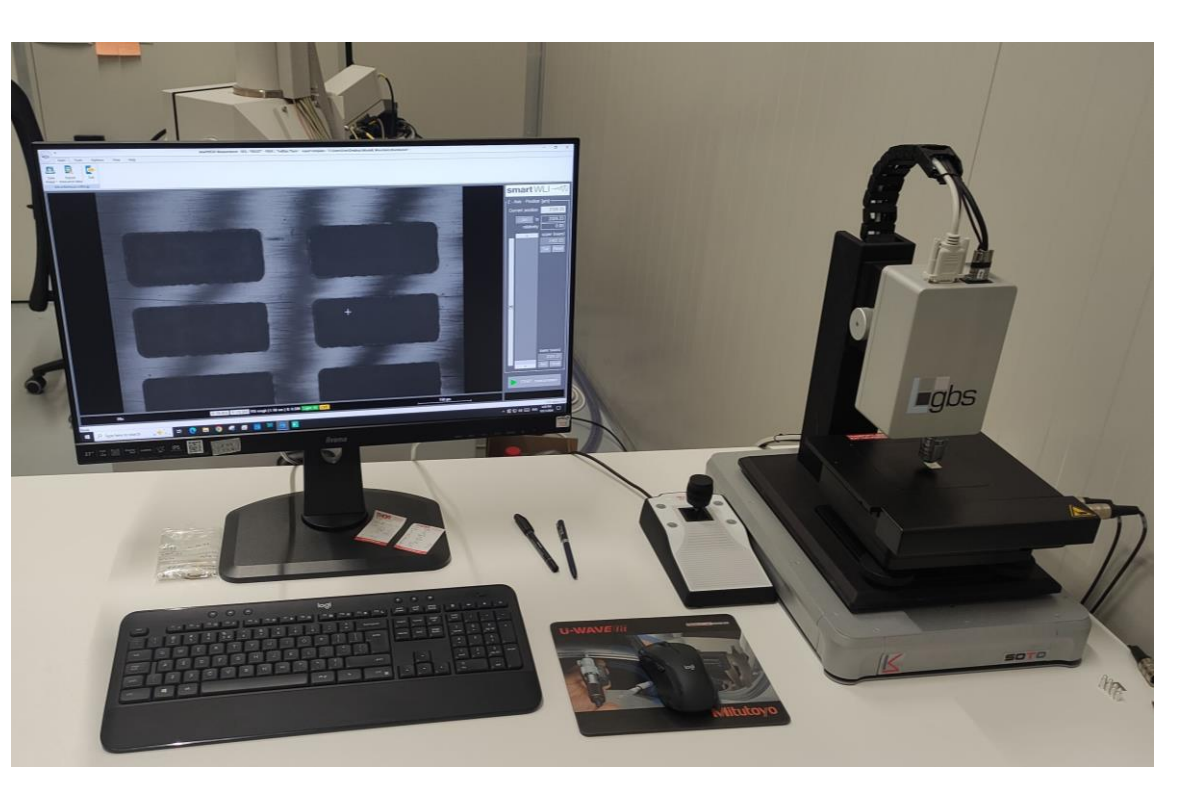
 Lo sviluppo di nuovi processi con tecnologia laser a femtosecondi risulta tuttavia estremamente complesso, data la necessità di gestire e comprendere le relazioni di causa-effetto tra una notevole quantità di parametri, correlati tra loro in modo tipicamente non lineare.

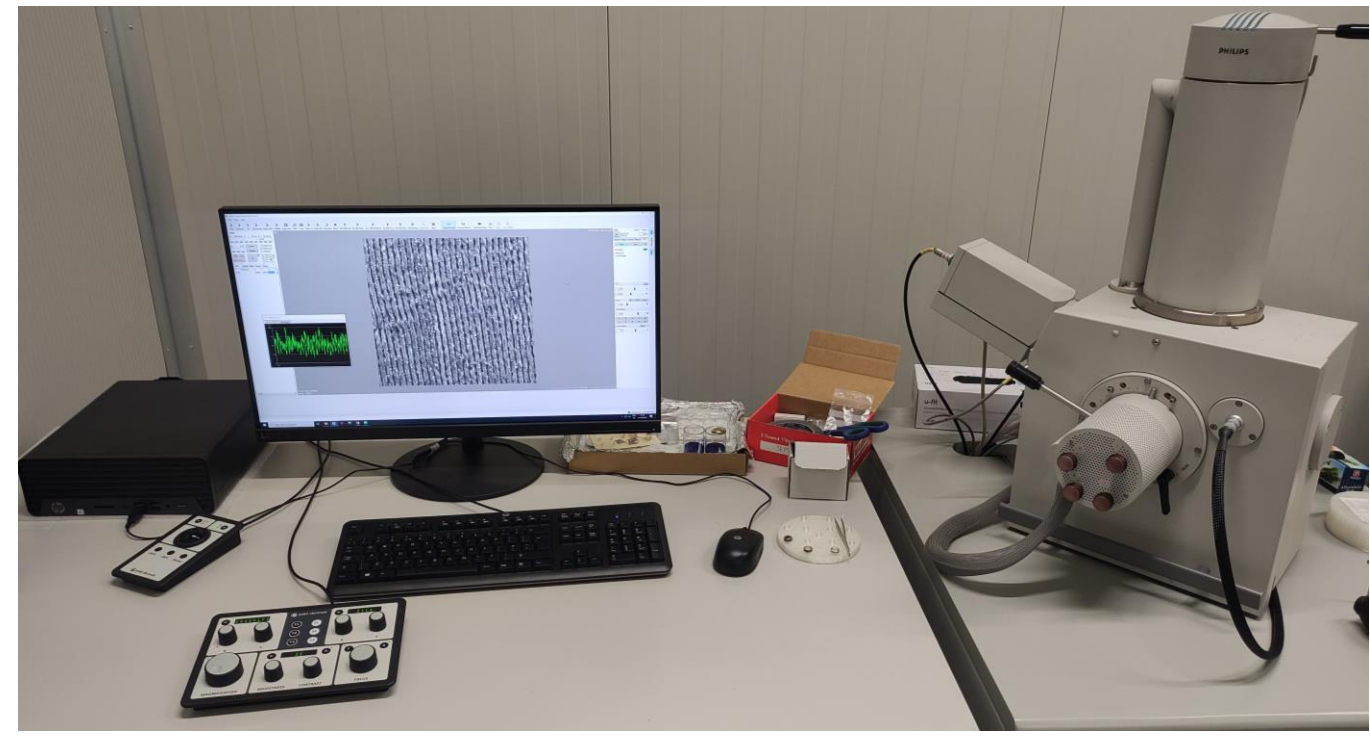




Laboratorio di Metrologia







- SmartWLI compact di GBS
- 10nm risoluzione in Z
- Obiettivo interferometrico 20x
- Stage X, Y motorizzato
- Mountain Map software

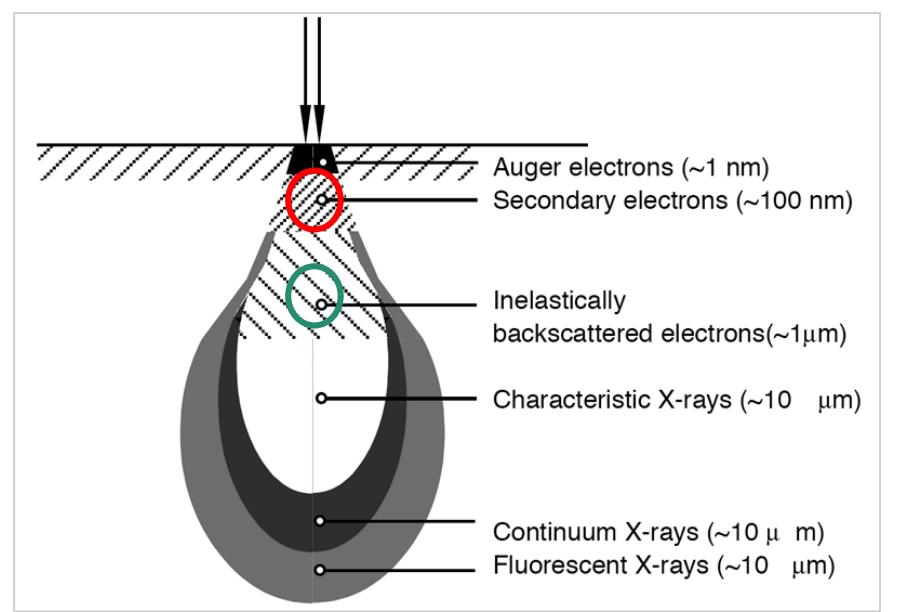
- SEM XL30 Philips
- Elettronica di controllo aggiornata, Point Electronics
- Detector SE
- Detector 4Q-BSE



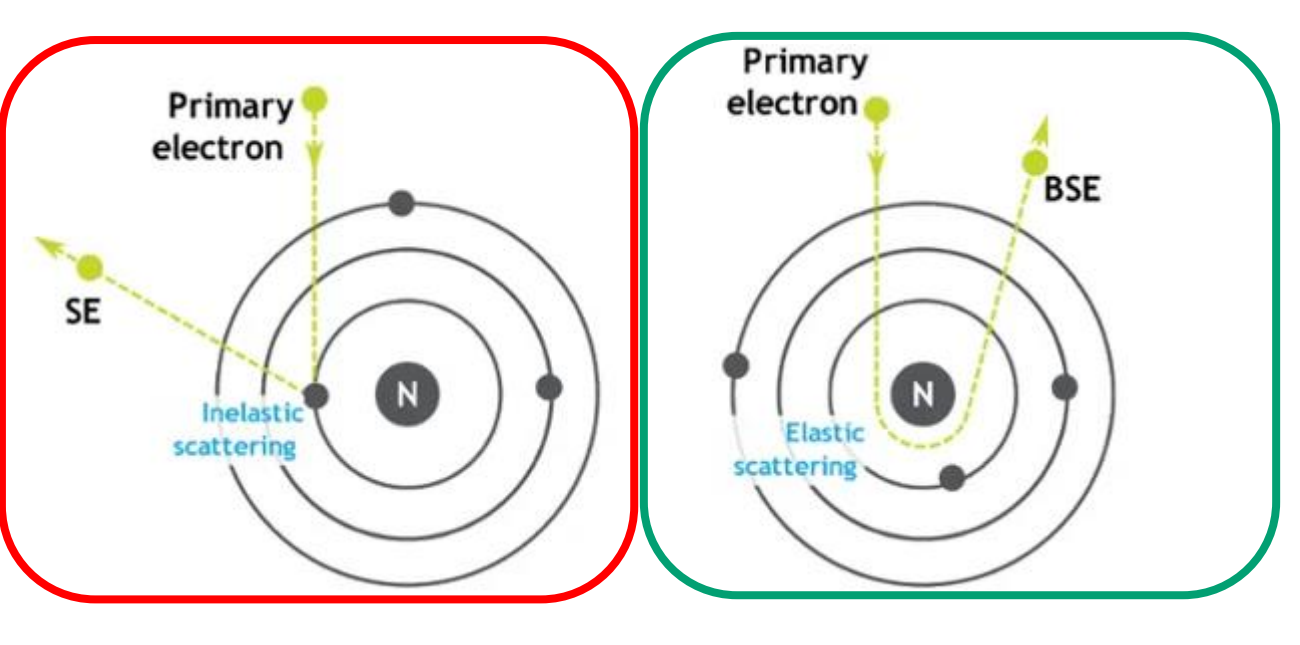
SEM Detectors: SE e BSE

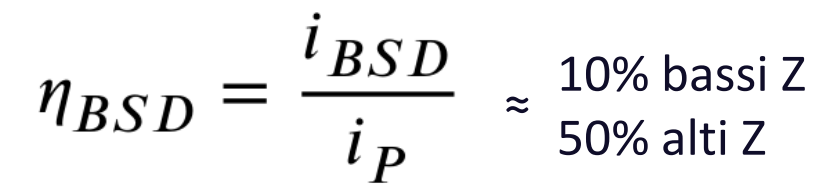


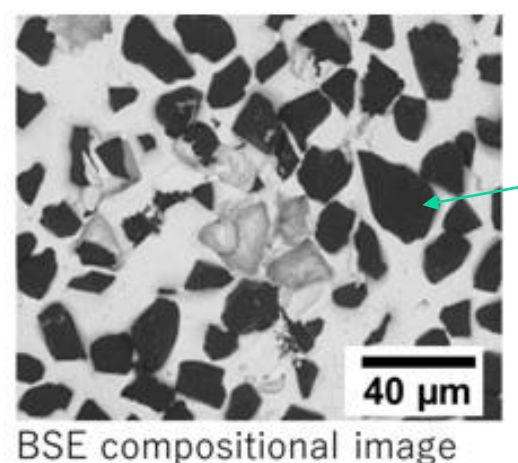
Interazione del fascio elettronico con il campione











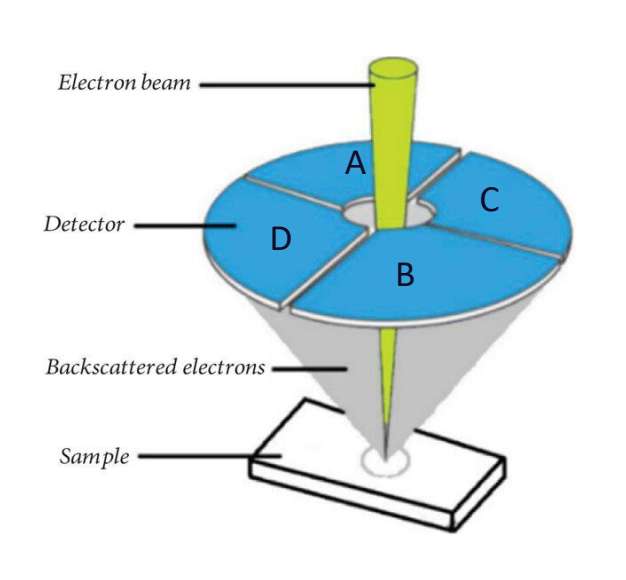
Efficienza

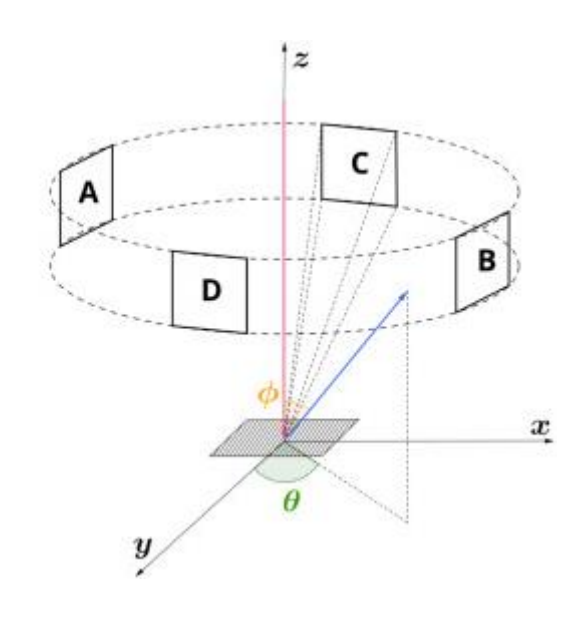
Carbonio

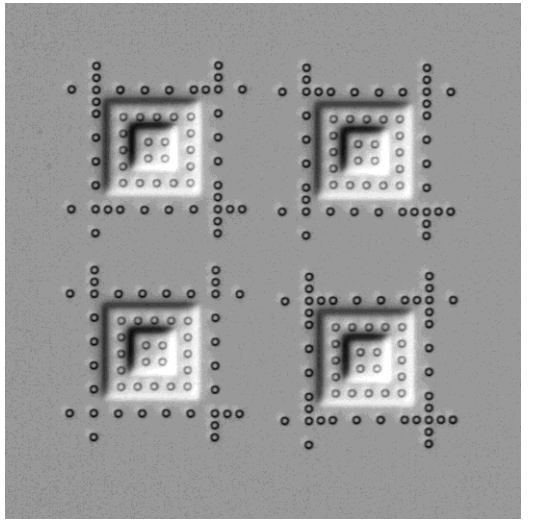


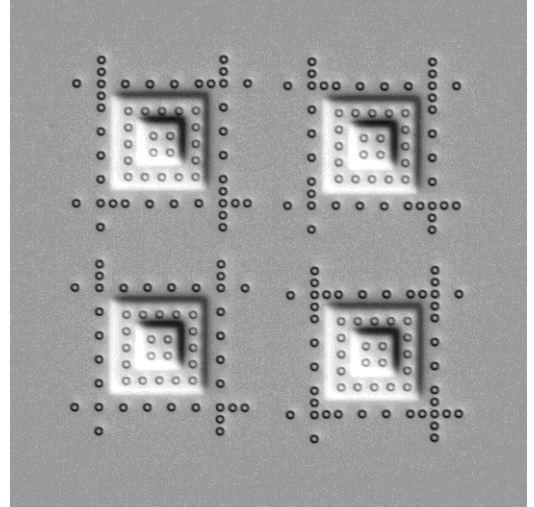
Ricostruzione 3D: Shape from Shading









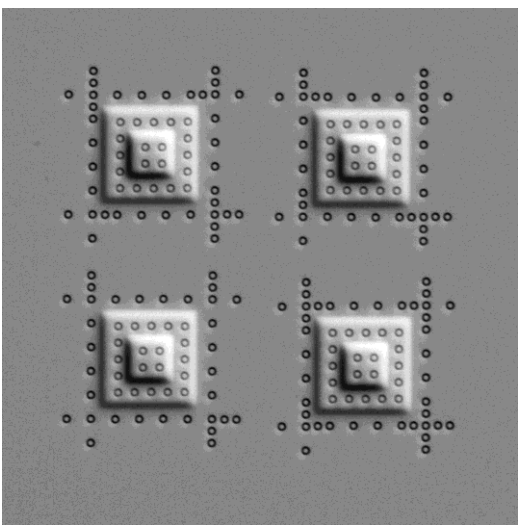


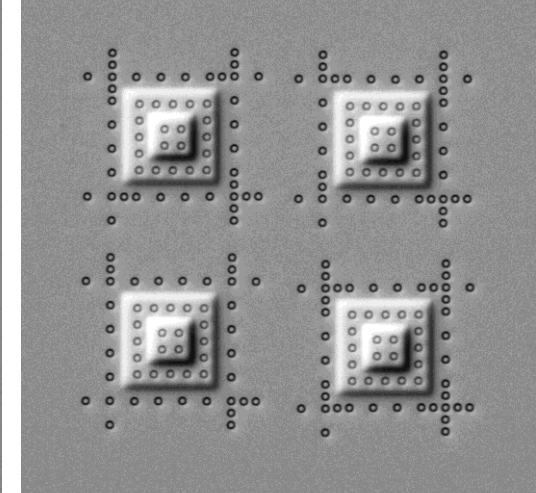
Intensità sul un quadrante detector

$$i_{BSD} = \frac{i_P \eta_{BSD}}{\pi} \left[d_A \tan(\phi_S) \cos(\theta_A - \theta_S) + c_A \right]$$

Variazione dell'altezza lungo asse X

$$\frac{\partial z}{\partial x} = \tan(\phi_S)\cos(\theta_S) = \frac{c}{d}\frac{I_A - I_B}{I_A + I_B}$$



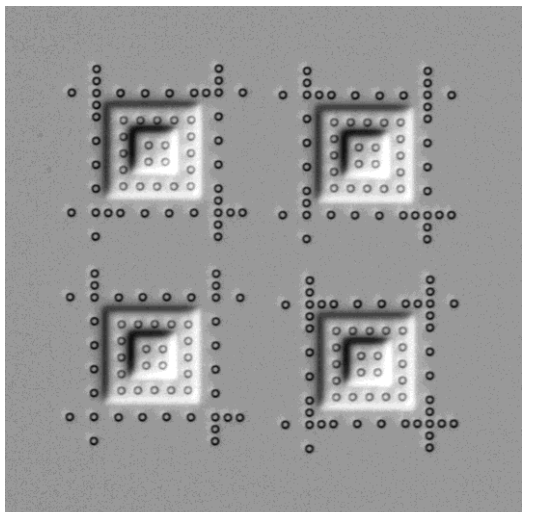


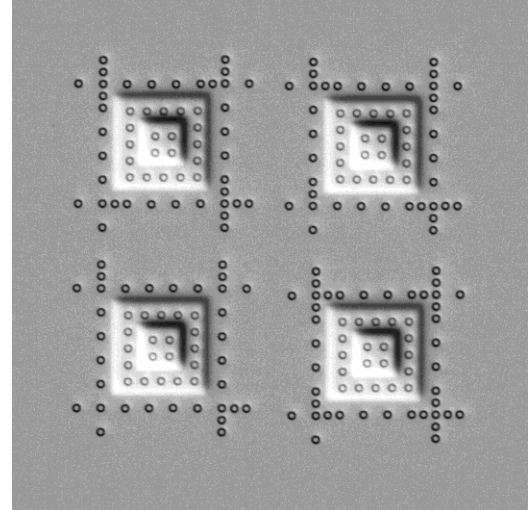


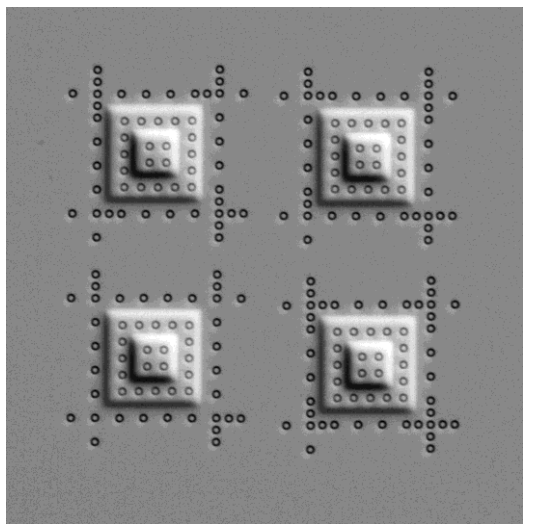
Ricostruzione 3D: Shape from Shading

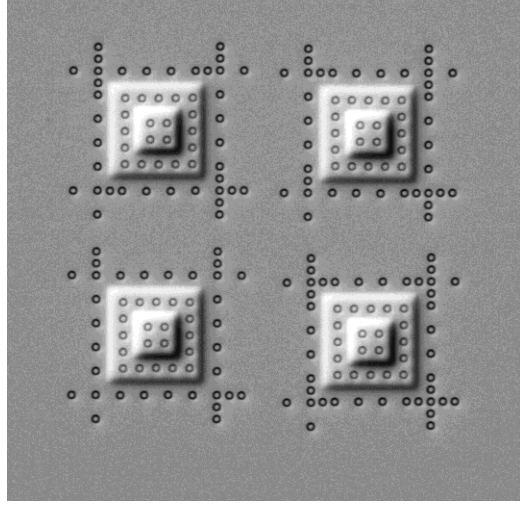


Immagini 4Q-BSE





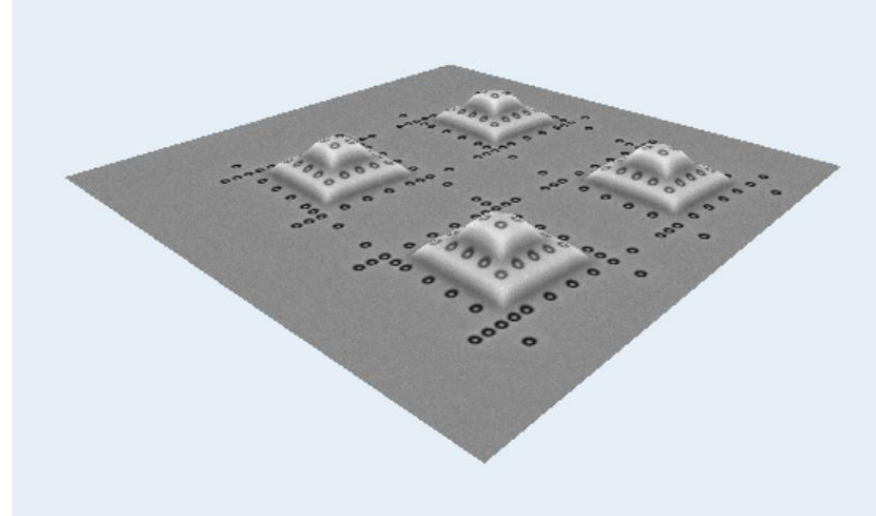




Dai segnali dei detector si può calcolare il gradiente delle superficie

$$\vec{\nabla}z\left(x,y\right) = \left(\frac{\partial z}{\partial x}, \frac{\partial z}{\partial y}\right) = \left(\frac{I_A - I_B}{I_A + I_B}, \frac{I_C - I_D}{I_C + I_D}\right)$$





- Area di lavoro più grande di AFM
- Flessibilità del SEM
- Maggiore risoluzione di un interferometro

Meno preciso di un AFM



ISO 25178-700



Geometrical product specification (GPS) – Surface texture: Areal Part 700:

Calibration, adjustment and verification of areal topography measuring instrument

1. Calibration

Trovare la relazione tra quantità misurate nel sistema e le stesse quantità misurate nel sistema standard certificato



Utilizzo di test object calibrati e certificati

2. Adjustment

Insieme di operazioni per correggere gli errori sistematici del sistema



Matrice di trasformazione per correggere i fattori di scala

3. Verification

Verifica della validità degli step precedenti

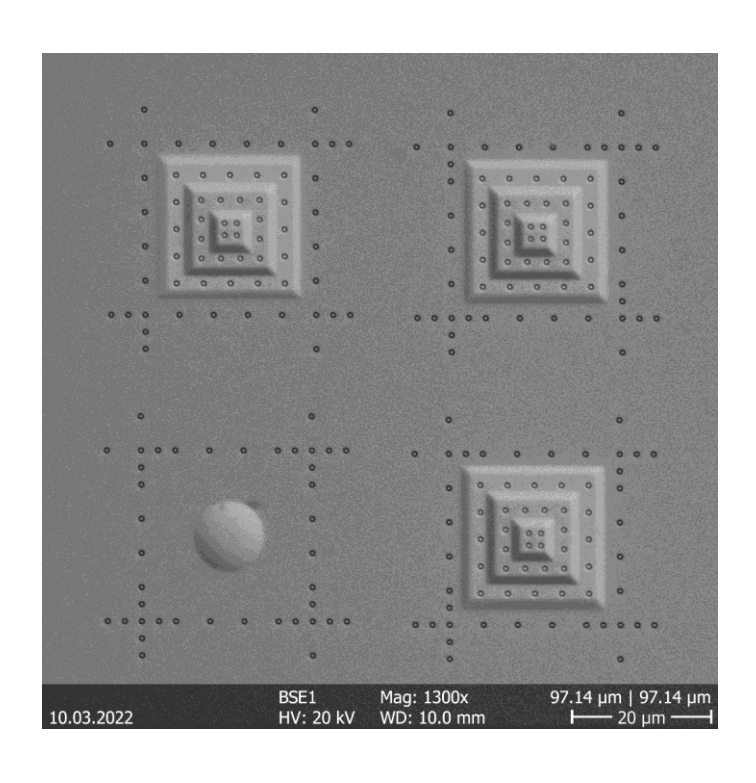


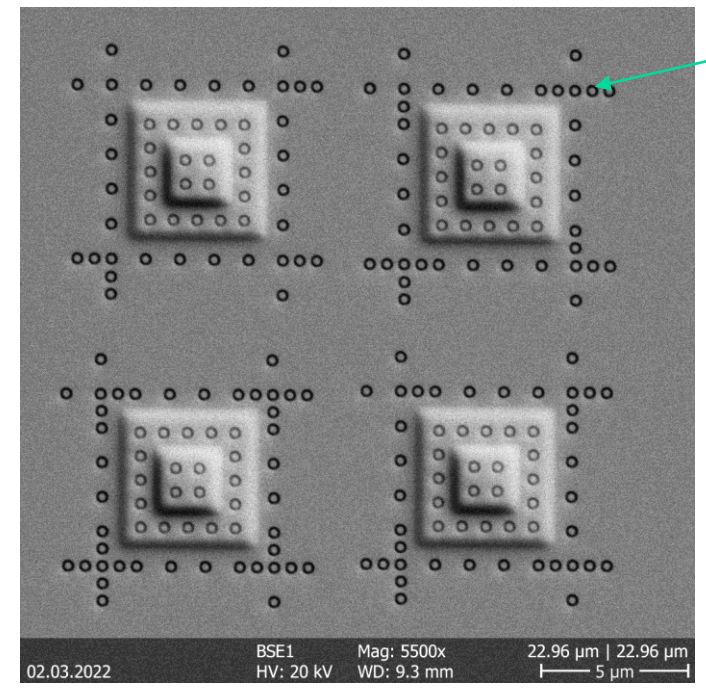
ISO 25178-700: Calibration



Test object forniti da Point Electronic, fabbricati e certificati dal centro Physikalisch-Technische-Bundesanstalt (PTB) a Braunschweig

Fabbricati con combinazione di deposizione e milling FIB di un composto C/Pt





- Nanomarker

 asimmetrici per il
 riconoscimento del
 pattern
- Ad ogni nanomarker sono associate le coordinate X, Y e Z del sistema di riferimento certificato

		Structure		Pyramidal Elements				Reference Marks			
Cha	tandard ID	Scanning	Max	Number	Size [µm]	Steps	Step	Nanomarker	Diameter	Line	Depth
Stal		Area	Height				Height	Number	[nm]	Width	[nm]
		[µm²]	[µm]				[µm]			[nm]	
MMC	C - 20	20 x 20	0,6	4	5	2	0,3	240	400	80	75
MMC	C – 80- BSE	80 x 80	3,0	3	20	3	1,0	224	800	150	150



ISO 25178-700: Calibration



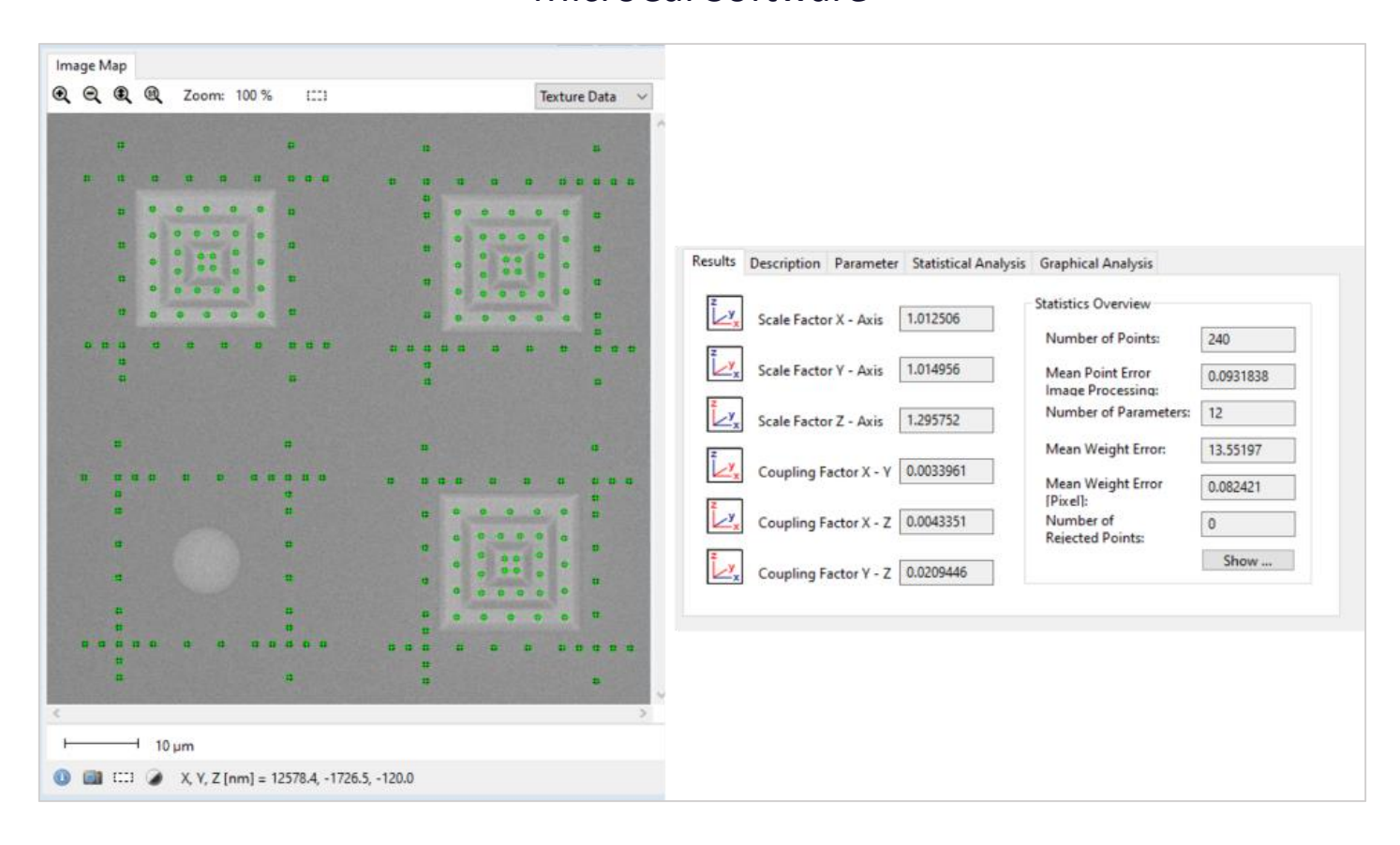
Step per la calibrazione:

- Acquisizione del test object 4Q-BSE
- 2. Ricostruzione 3D
- 3. Estrazione dei parametri di scala attraverso il riconoscimento automatico dei Nanomarker sulla superfce



Adjustment delle ricostruzioni 3D di campioni non noti

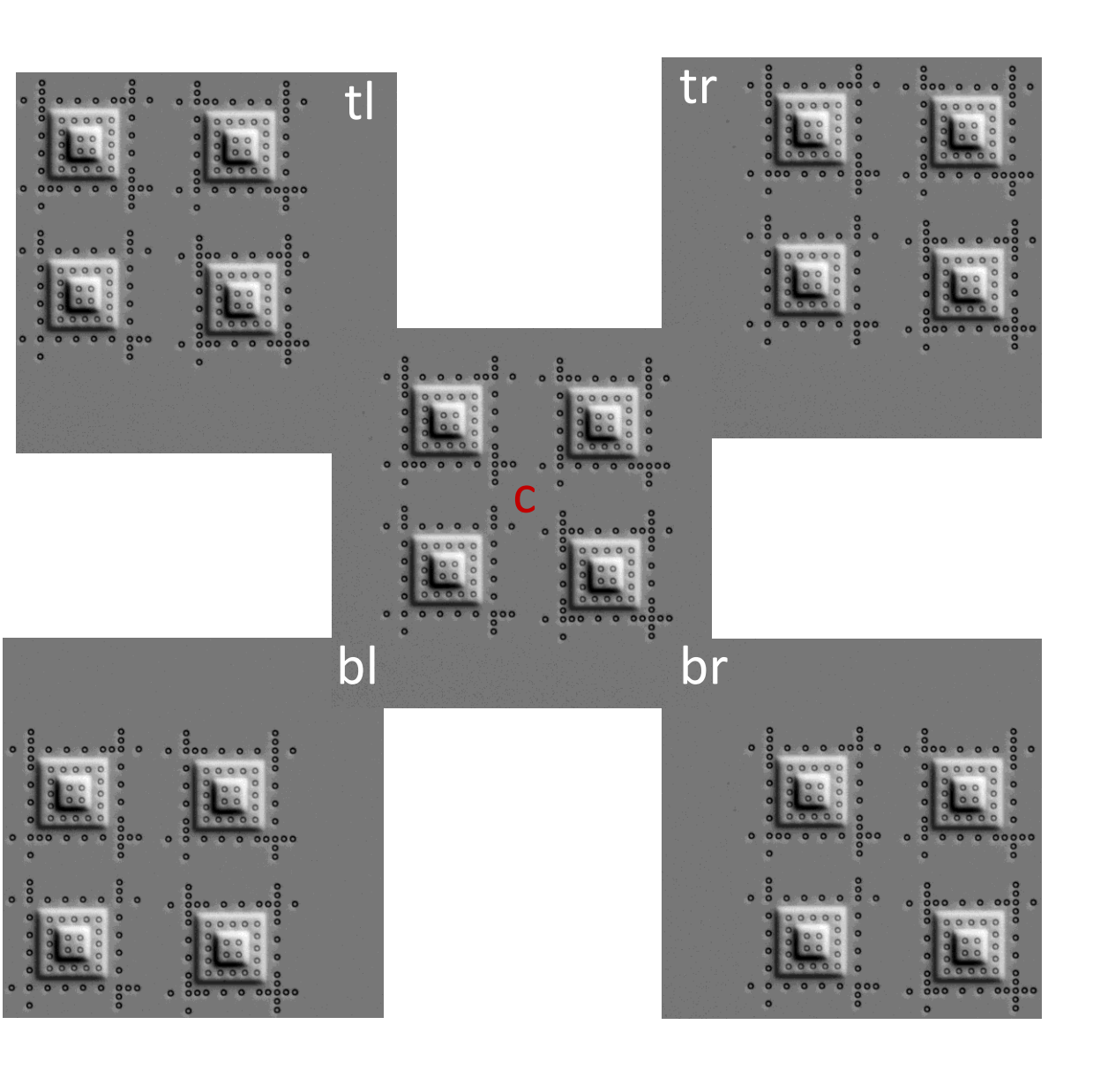
MicroCal Software



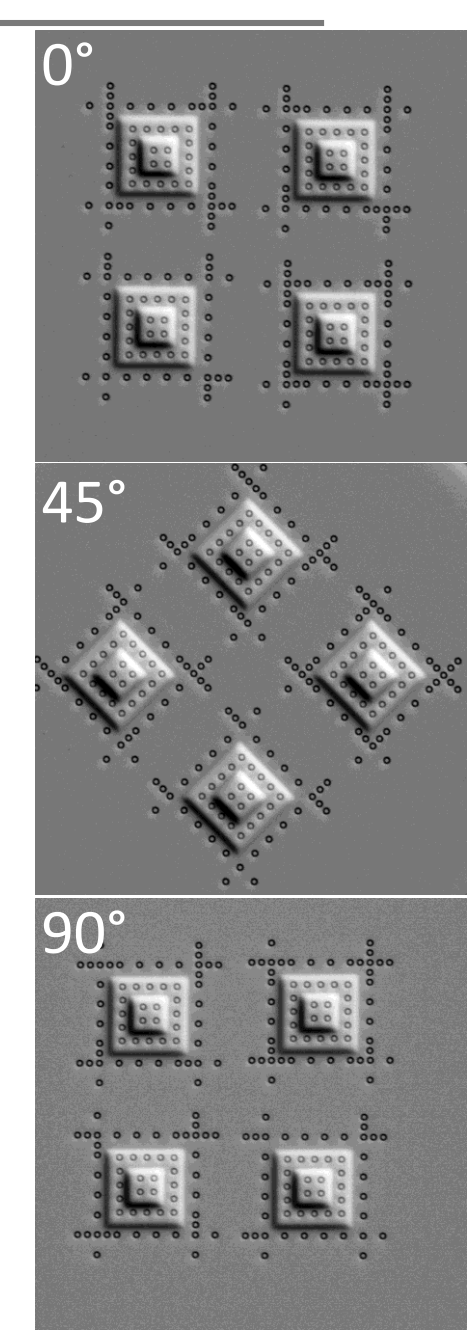


ISO 25178-700: Validation





- Abbiamo validato il metodo applicando traslazioni e rotazioni al test object
- Immagine c usata come riferimento per la calibrazione
- Le restanti immagini sono state usate per la ricostruzione 3D e l'adjustment eseguito con i parametri trovati dal riferimento centrale

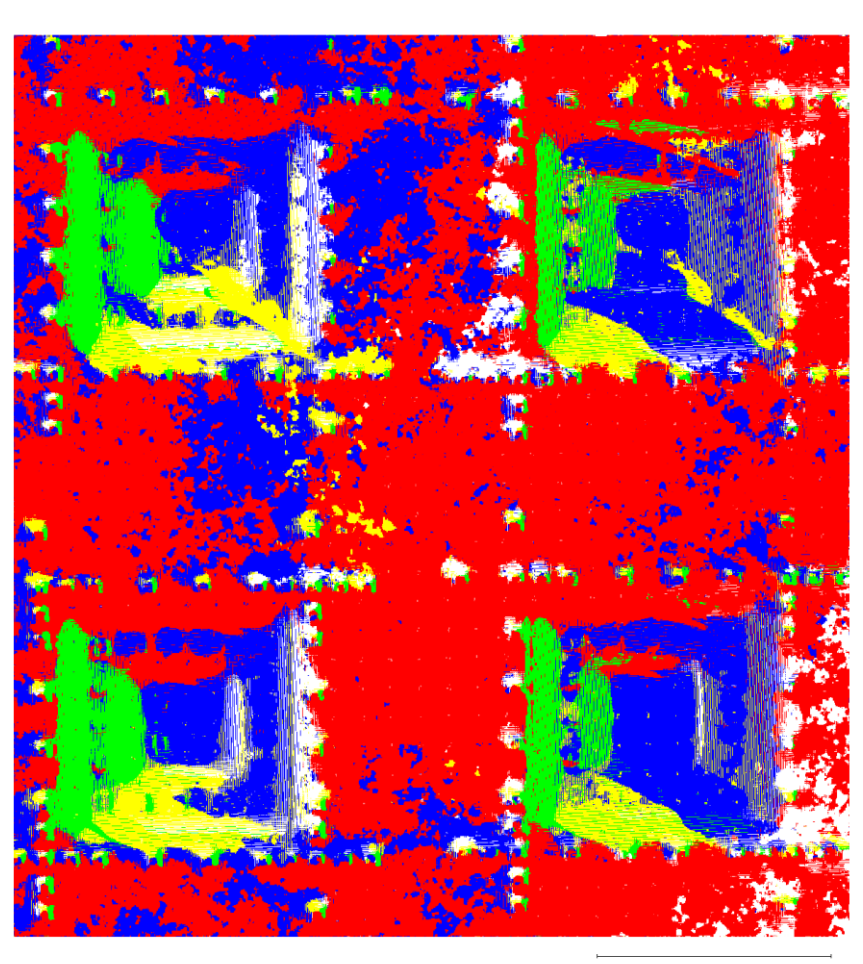




ISO 25178-700: Validation



I modelli 3D «aggiustati» possono essere comparati registrando le nuvole di punti



Il processo di registrazione allinea i modelli 3D minimizzando la distanza globale

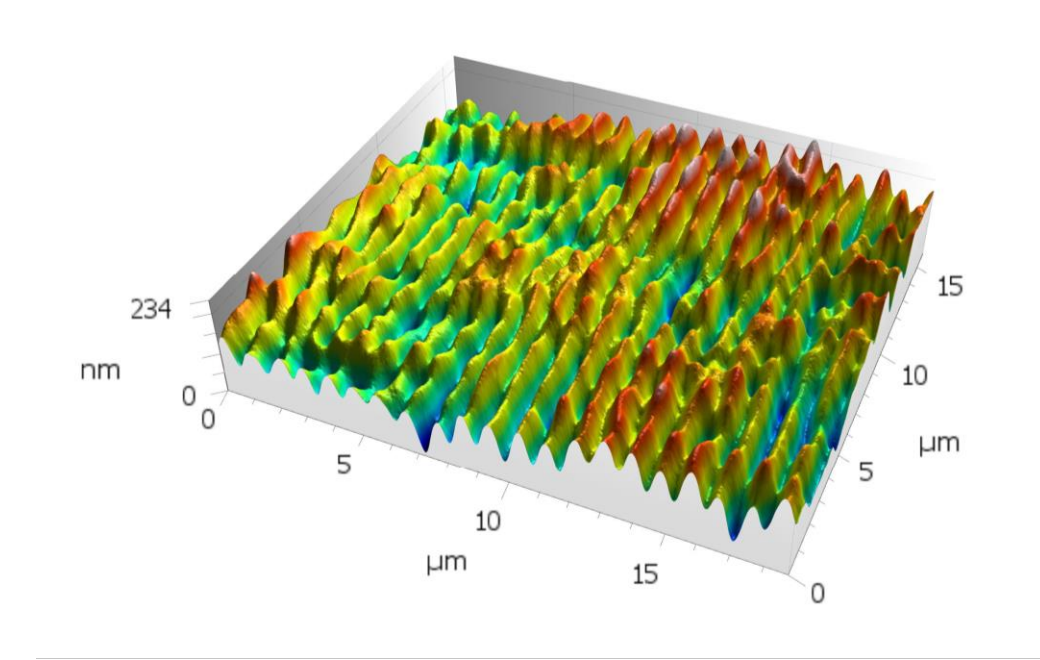


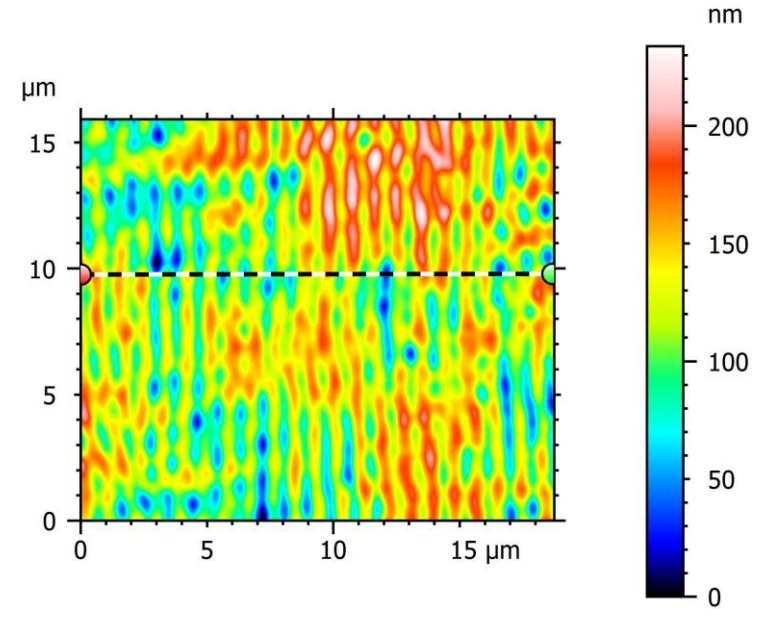
Distanza media tra le nuvole di punti ≈ 5nm

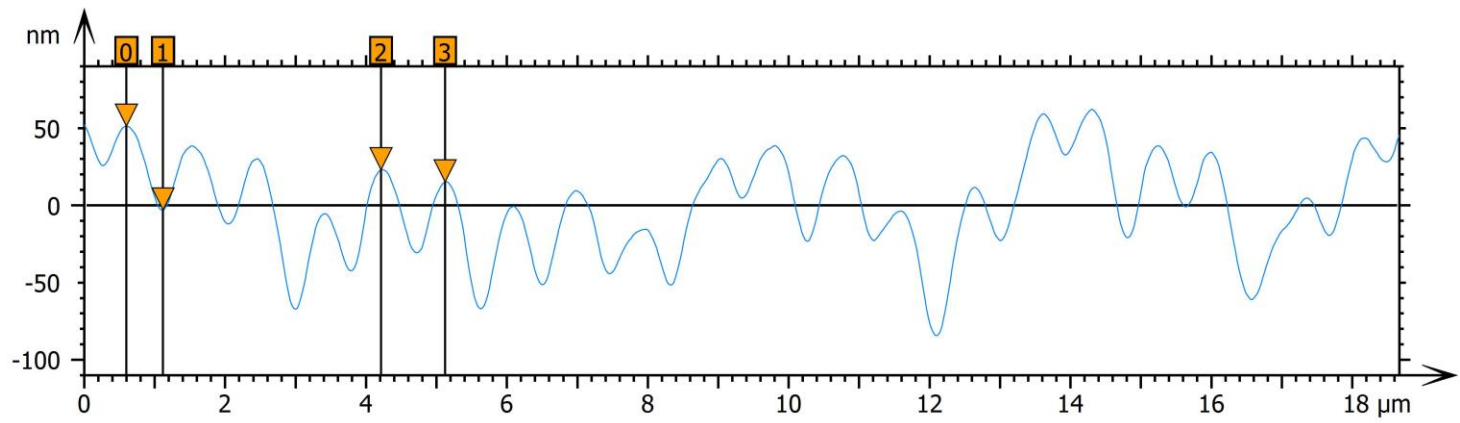


Ricostruzione 3D di campioni LIPSS









Parameters	Unit	0-1	2-3
Horizontal distance	μm	0.52	0.91
Height difference	nm	-54.3	-7.87



SEM automatizzato per supportare la messa a punto dei processi laser



 Lo sviluppo di nuovi processi con tecnologia laser a femtosecondi risulta estremamente complesso, data la necessità di gestire e comprendere le relazioni di causa-effetto tra una notevole quantità di parametri, correlati tra loro in modo tipicamente non lineare.

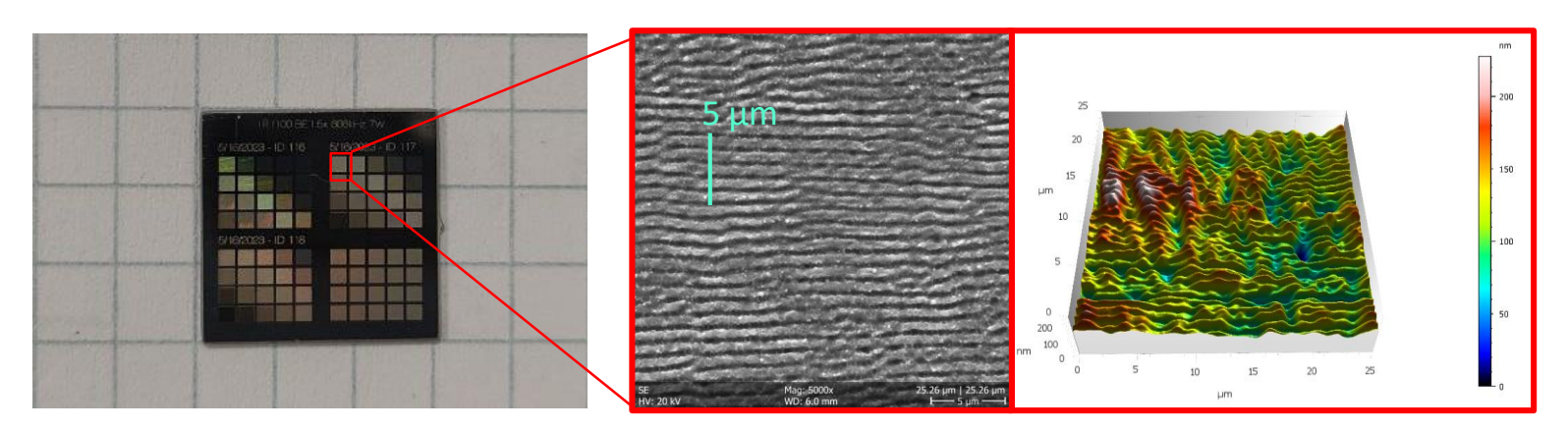


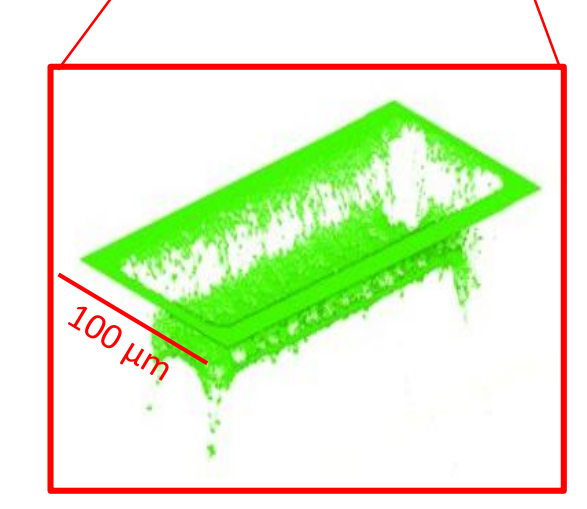
2022.03.28 15:05:23 - ID 004

Realizzazione di matrici standardizzate di campioni al variare dei parametri laser di interesse



Automazione dei processi di misura





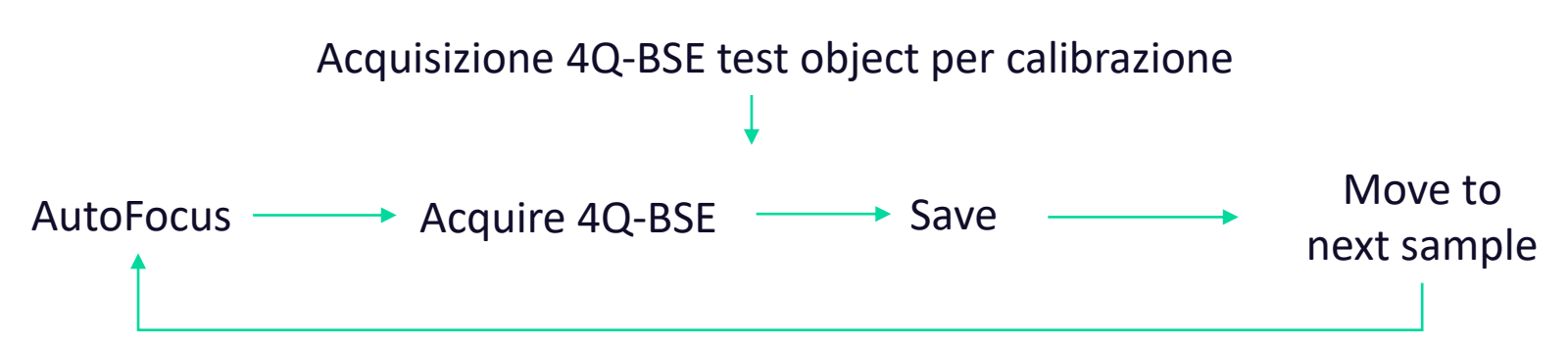


SEM automatizzato per supportare la messa a punto dei processi laser

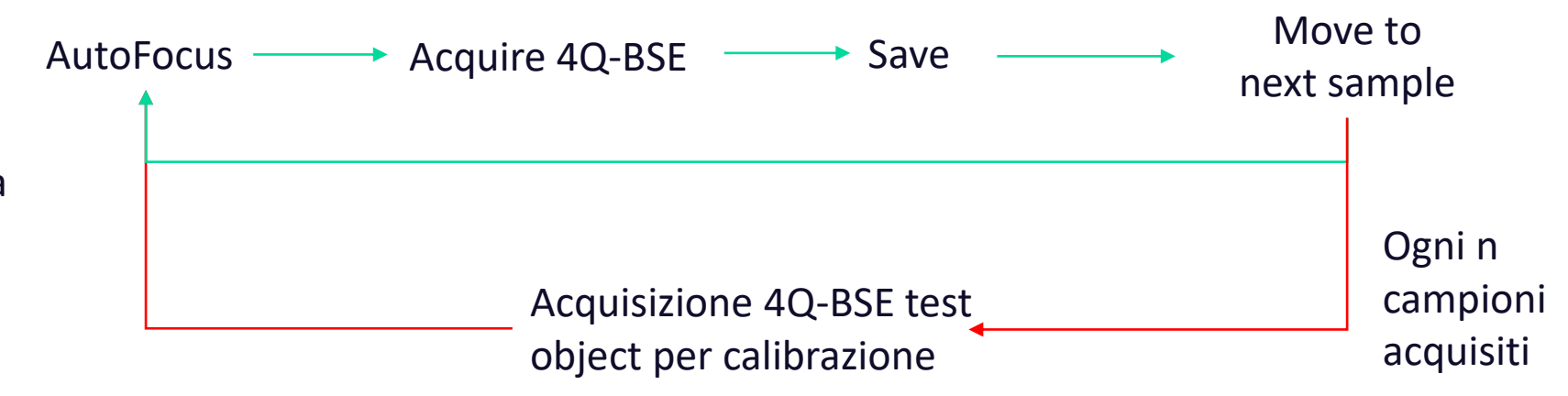




Soluzione iniziale:



Soluzione adottata:



Contenimento dei drift del sistema limitandone gli errori sulla ricostruzione 3D per misure prolungate nel tempo

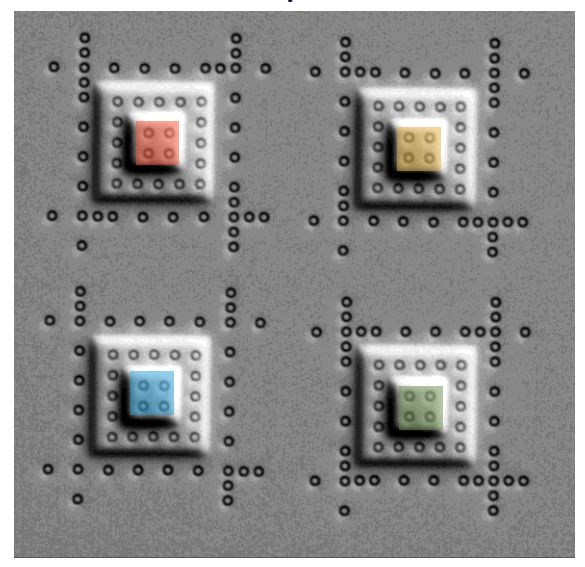


Stabilità delle ricostruzioni 3D

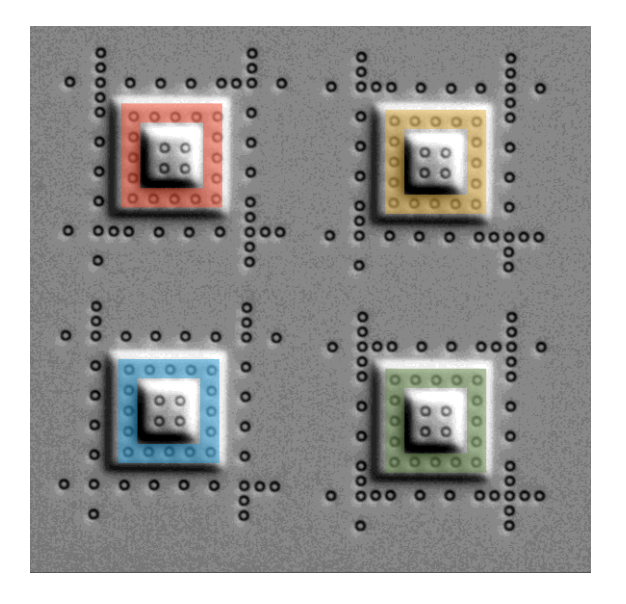


- Acquisizione multiple del test object ad intervalli costanti, tempo totale = 92min
- La prima acquisizione è stata utilizzata per la calibrazione e l'adjustment di tutte le seguenti
- Estrazione delle posizioni dei nanomarker
- Monitoraggio dell'altezza dei piani delle piramidi per la valutazione delle deformazioni

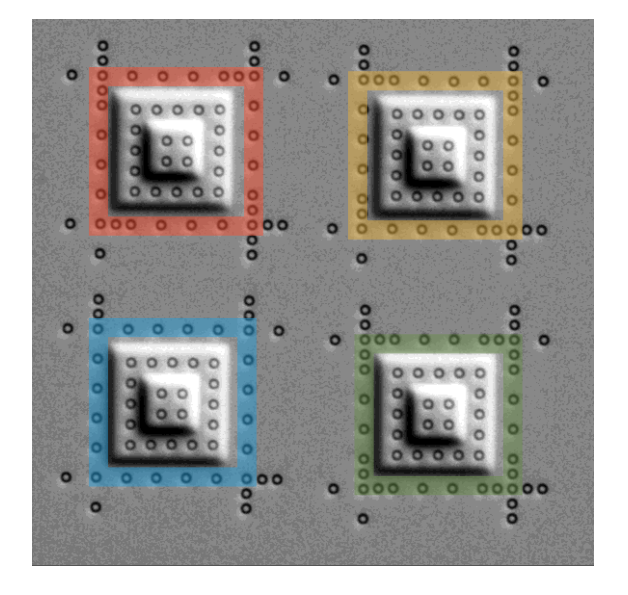
Piano superiore



Piano intermedio



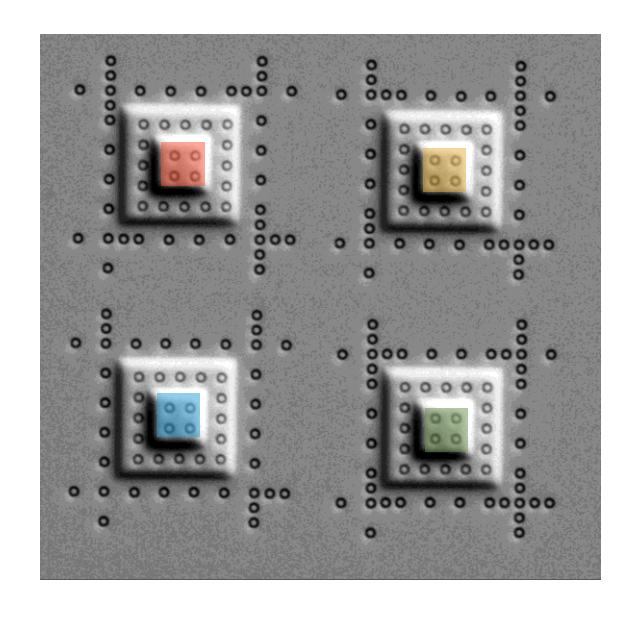
Piano inferiore

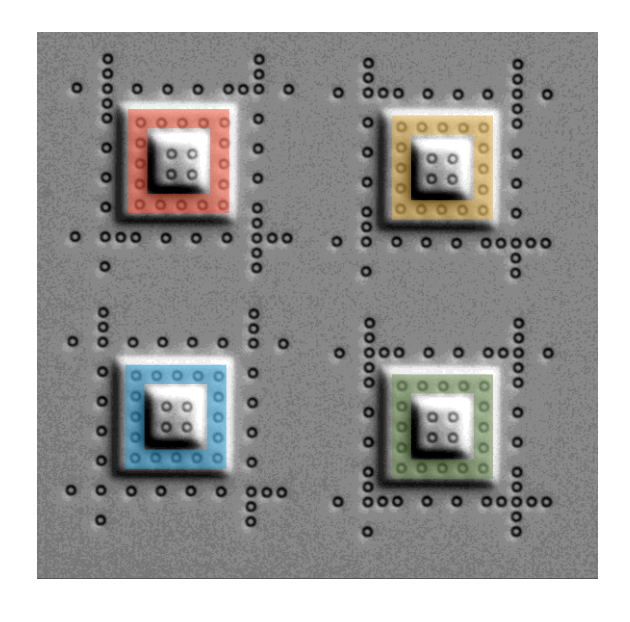


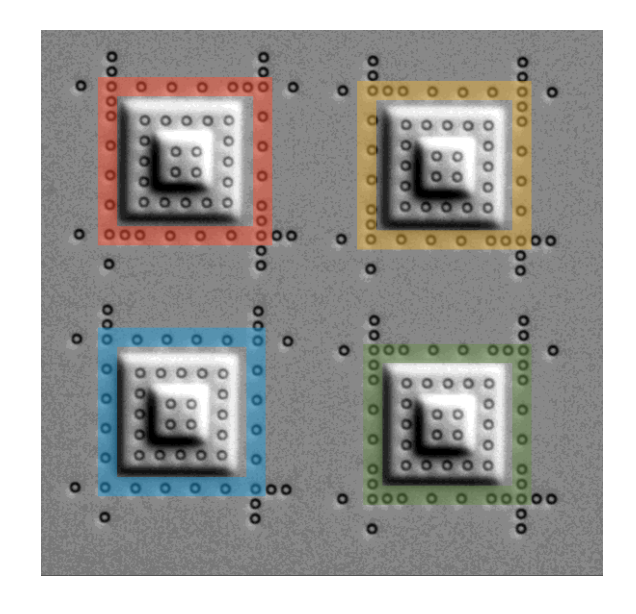


Stabilità delle ricostruzioni 3D

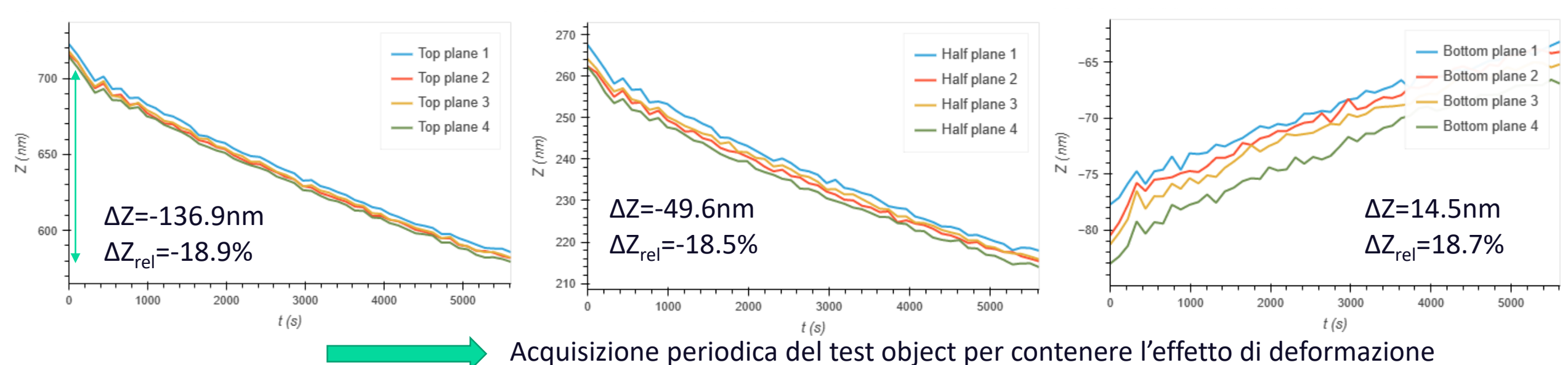








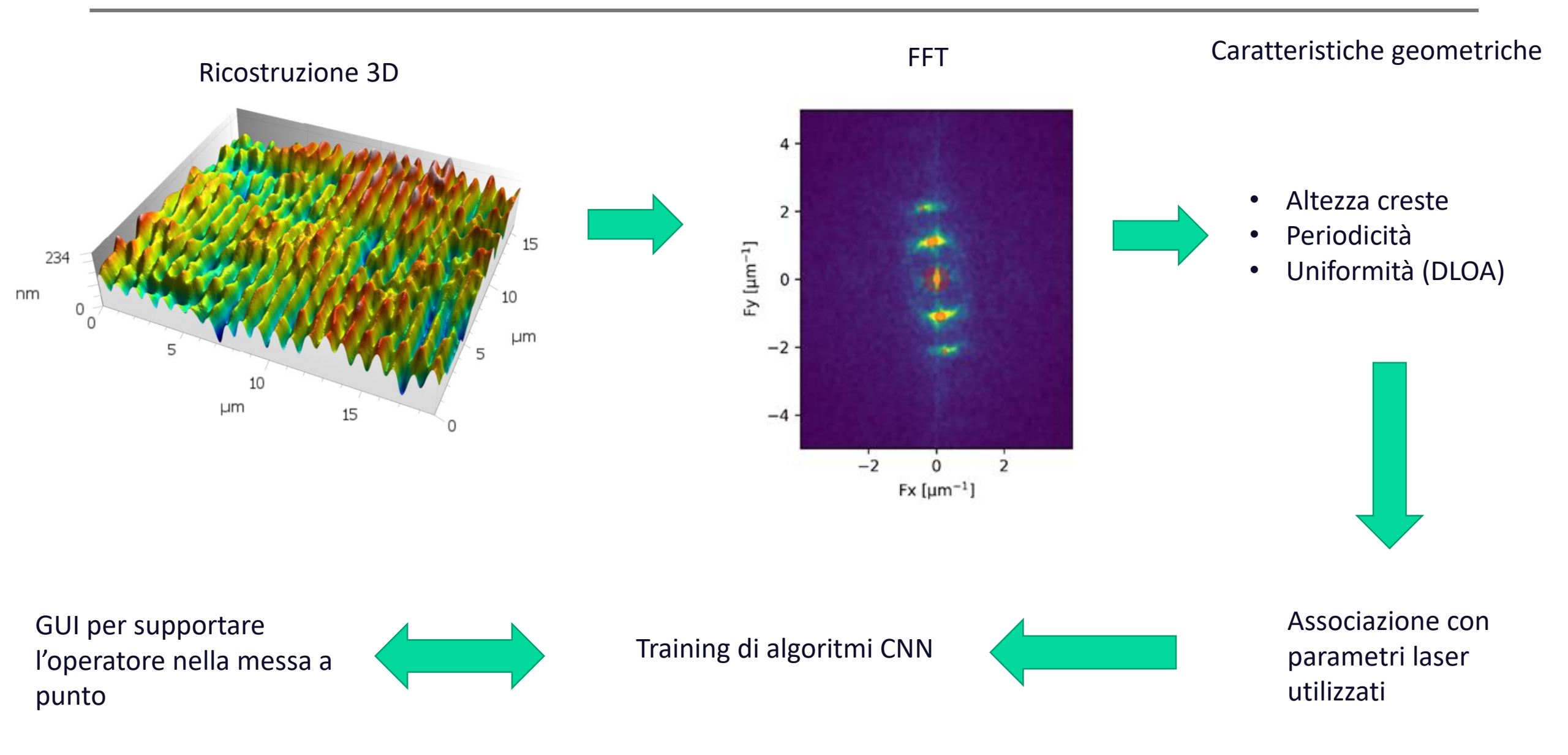
Z position of pyramids planes





Training di Algoritmi CNN per la predizione di parametri laser





Conclusioni

- Il progetto MIAMI ha permesso la costituzione del laboratorio di metrologia presente in Kirana che dà supporto nella messa a punto dei processi laser e controllo qualità
- Le ricostruzioni 3D da immagini 4Q-BSE permettono di superare il limite di risoluzione ottico ma rimangono comunque meno accurate di strumenti a scansione di sonda.
- Tuttavia rispetto ad un AFM il volume disponibile è maggiore
- È stata sviluppata una procedura di misura per campioni LIPSS rispettando la ISO 25178
- Si è riscontrata una deformazione delle ricostruzioni 3D su misure prolungate, data da uno shift dei segnali del detector (ancora da studiare la causa)
- Con opportuni accorgimenti è possibile automatizzare i processi di misura con SEM per acquisizione di tanti campioni per la messa a puto dei processi o per algoritmi AI





GRAZIE PER L'ATTENZIONE

Dr. Matteo Verdi Kirana srl

m.verdi@kirana-laser.it

kirana@kirana-laser.it

